
Deutsche Medizinische Wochenschrift

nschrift für Schriftleitung und Georg Thieme Verlag: 7000 Stuttgart.1, Postfach 732, Herdweg 63

W. Bargmann, Kiel
H. E. Bock, Tübingen
A. Butenandt, München
E. Derra, Düsseldorf
G. R. Graham, London

N. Henning, Erlangen
F. Hoff, Frankfurt
K. Kolle †
H. Leicher, Mainz
E. Letterer, Tübingen

H. Meessen, Düsseldorf
R. Nissen, Basel
K. H. Schäfer, Hamburg
W. Scheid, Köln
G. Schettler, Heidelberg

M. Schneider, Köln
R. Schoen, Göttingen
W. Schönfeld, Heidelberg
K. Spang, Stuttgart
A. Windorfer, Erlangen

Schriftleitung: Prof. Dr. F. Grosse-Brockhoff Düsseldorf

Prof. Dr. F. Kümmerle Mainz

Dr. R. H. Rosie Stuttgart

Inhaltsverzeichnis für den 100. Jahrgang

2. Halbjahr 1975 Hefte 27–52

582 Abbildungen in 623 Einzeldarstellungen und 425 Tabellen



Georg Thieme Verlag · Stuttgart

Sachverzeichnis¹

- A**
- Abrasionszytologie des Magens **1493**
- Absenzen, atypische, Succinimid-Dipropylacetat-Therapie **1564**
- Acrodermatitis enteropathica, Therapie mit Zink **1549**
- ACTH-Produktion, ektoische, Lungenkrebs 1755
- , selektiver Mangel bei Geschwistern **2646**
- Adenom, autonomes, Radiojodtherapie **2203**
- , –, s. a. Schilddrüse
- Adenoma sebaceum 1649
- Adolf-von-Baeyer-Gedenkmünze 2369
- Ajmalin-Test, WPW-Syndrom 2553
- Akinese, M. Parkinson, Atemverhalten unter L-Dopa, DC-geblockt **1461**
- Akromegalie, Bromocriptin-Therapie **1540**
- Aktinomykose 2131
- Aldosteron im Plasma, Reninaktivität beim Bartter-Syndrom **2443**
- Alfons-Fischer-Medaille 1584
- Alkohol, Gicht 1752
- Alkoholabhängigkeit, chronische, neurologische Befunde **1478**
- , organisch begründete psychiatrische Befunde **2105**
- Alkylantien, Plasmozytom, myelogene Leukämien **1961**
- Allergen-Aerosole, bronchialer Provokationstest **2454**
- Allgemeinnarkose, Überwachung nach 2058
- Alopecia areata 2625
- Amaurotische Idiotie 2126
- Aminophyllin, Retard-Präparat, orales bei obstruktiven Atemwegserkrankungen **1781**
- AMP, cyclisches, quergestreifter Muskel bei chronischer Niereninsuffizienz **2397**
- Amylasämie, Makro- **1599**
- Amylase im Serum bei Niereninsuffizienz 2658
- Androgene im Plasma, nach oralem Testosteron **1773**
- Androgenstoffwechsel, akute und chronische Lebererkrankungen **1881**
- Andrologie, Deutsche Gesellschaft für 2130
- Anetodermie 1717
- Aneurysma dissecans aortae, Röntgendiagnostik **1549**
- Angina pectoris, »Prinzmetal-Angina« oder »Variant-Form« **1977**
- –, Einteilung 2587
- Angina pectoris, Revaskularisation, direkte chirurgische **2399**
- –, Therapie der **1978**
- Angioneurotisches Ödem 1814
- Anstrengungsasthma 2367
- Anthropologie, Konzept einer neuen – **1991**
- Antiarrhythmische Therapie, tachykarde Herzrhythmusstörung **1810**
- Anti-D-Prophylaxe, Rhesus-Inkompatibilität **2010**
- Antidiabetika, orale, Entdeckung **2653**
- Antiepileptika, Absetzen der Therapie 1871
- , Nebenwirkungen **1904, 2365, 2552**
- Antihypertensiva, Phäochromozytom, Katecholaminausscheidung **2349**
- Antihypertensive Therapie, Beta-Rezeptorenblocker **2161**
- Antinfektiöse Therapie, Wechselwirkungen bei **2496**
- Antikoagulantien nach Herzinfarkt 1753
- Antikoagulantientherapie, Dauer bei Gefäßkrankheiten 2058
- , Pockenschutzimpfung 1615
- Antinukleäre Faktoren, D-Penicillamin-Therapie **2198**
- Antirheumatika 1550
- Aortenisthmusstenose 1650
- Aortenruptur 1718
- Aprindin, Langzeit-Trendanolyse **1764**
- Approbationsordnung, neue, Erfahrungen mit **2579**
- Arcus lipoides 2586
- Arteria lusoria (A. subclavia aberrans dextra) 1822
- Arterielle Verschlusskrankheit **1687**
- –, bei Beinamputierten **2275**
- –, Diabetes mellitus **1827**
- Arzneimittelsicherheit **2285**
- Arztberuf, Auswahl zum **1678, 1813, 2179**
- Arztdichte 2186
- Arztrecht, Aufklärungspflicht, Umfang der ärztlichen – **1914**
- , Behandlung von Suizidpatienten gegen Willen der Angehörigen **1812**
- , Blutgruppenbestimmung bei Bluttransfusion, Sorgfaltspflicht **2409**
- , Gelegenheitskonsultationen, ärztliche Schweigepflicht **1994**
- , Gutachten, gerichtliche, Entschädigung bei stationärer Aufnahme nach BpflVO **2360**
- Arztrecht, Gutachtertätigkeit der ärztlichen Hochschullehrer **2123**
- , Krankenunterlagen, Herausgabe an nachbehandelnde Ärzte **2295**
- , Laboratoriumswerbung, ärztliches Berufsrecht **2233**
- , Numerus clausus, Entscheidung des Bundesverfassungsgerichts **1750**
- , Nutzungsentgelt, Abführung von, durch ärztliche Hochschullehrer **2363**
- , Rauchverbot bei Fortbildungsveranstaltungen **1481**
- , Schadenersatz wegen mißlungener Sterilisation **2657**
- , Schweigepflicht, ärztliche, und Gelegenheitskonsultationen **1994**
- , –, geschichtliche Entwicklung **1867**
- , –, Neuregelung durch Strafrechtsreform **1865**
- , Zulassung zur Kassenpraxis von beamteten und angestellten Ärzten **1613**
- Aspergillom 1586
- , Differentialdiagnose **1870**
- Asthma, Anstrengungs – 2367
- Ataxie, zerebellare, bei Hypothyreose **1504**
- Atebrin, Einführung in die Therapie **2583**
- Atemwegserkrankungen, obstruktive, Pathophysiologie **1575**
- , –, Retard-Aminophyllin-Präparat, orales **1781**
- Aufklärungspflicht des Arztes, Umfrage bei Patienten **1587**
- Autoimmun-Thrombozytopenien, Plättchenproduktion und lienale Plättchenspeicherung **2641**
- AV-Block, chirurgisch induziert **2389**
- B**
- Bakteriurie, Nachweis antikörperbesetzter Bakterien zur Lokalisation von Harnwegsinfektionen **2598**
- , Nachweis durch Blasenpunktion **2252**
- Bartter-Syndrom, Plasmaaldosteron und Reninaktivität **2443**
- BCG-Histiozytose, generalisierte, bei angeborenem Immundefekt **2604**
- Beckenvenenthrombose 1550
- Behinderte Kinder, Statistik nach Umfrage 1974 2624
- Belastungs-EKG und Koronarangiogramm **2538**
- Bernhard-Nocht-Institut 1874
- Beta-Rezeptorenblocker, antihypertensive Therapie mit **2161**
- Bicepssehnenruptur 1615
- Billroth-I-Magen, duodener Reflux, Gastritis **2385**
- Bing-Horton-Syndrom 1647
- Blasenkarzinom, Urinzytologie **2340**
- Blasenpunktion, Nachweis einer Bakteriurie **2252**
- , suprapubische **2565**
- Bleichmittel, kosmetische, Quecksilbervergiftung **1694**
- Bleivergiftung 2303
- Blindheit, kortikale, nach Vertebralisangiographie **2621**
- Blutalkohol und Essig 1647
- Blutspendebereitschaft 1583
- Blutzucker, Anstieg nach Glucosebelastung 2587
- Blutzuckerbestimmung, Refloat-Methode **1697**
- Blutzuckertagesprofil, kontinuierliches, Seruminsulin, Körpergewicht **1595**
- Blutzuckerwert, postprandialer 2299
- Botulinusintoxikation **2394**
- Brom-Verbindungen, freikäufliche, Gefährdung durch **1580, 2180**
- Bromocriptin, Therapie der Akromegalie **1540**
- Broncholytische Langzeittherapie, orale, Theophyllin-Äthylendiamin, Lungenfunktion **2482**
- Butylphenol, paratertiäres, Vitiligo, Hepatosplenopathie und Struma nach Arbeit mit **2216**
- B-Vitamine, therapeutische Wirkung bei chronischer Hepatitis **2074**
- C**
- Cabot-Ring 1757
- Caerulein, Dünndarmpassage **2488**
- Calciumheparinat, Thromboseprophylaxe bei Hüftgelenkoperationen **2014**
- Calciumtransport, intrazellulärer, **1854**
- Carus-Medaille 2369
- Chemotherapie, adjuvante, bei soliden Tumoren **2342**
- , kombinierte, therapieresistente Leukämien des Erwachsenen **2478**
- »China-Restaurant-Syndrom« 2126

¹ Die fettgedruckten Zahlen bedeuten Originalarbeiten, die Kursivzahlen Mediquiz.

- Chloracetat-Esterase-Reaktion, Eosinophilenleukämie **2092**
- Chloramphenicol, Indikationen für **1482, 1679**
- Cholangiographie, endoskopisch-radiologische, Cholestase, Postcholezystektomie-Syndrom **1877**
- Cholelithiasis, Typhusdauer-ausscheider **1714**
- Cholera, Entdeckung des Erregers **2119**
- Cholestase, endoskopisch-radiologische Cholangiographie **1877**
- , Nachweis von Lipoprotein X **2193**
- Cholesterin-Szintigraphie, ¹³¹J-, Nebennieren **2524**
- Chondromatosis synovialis **2183**
- Chromatinfibrillen, Aufbau der **1818**
- Chromosomen, Untersuchungen an Lymphozyten bei multipler Sklerose **2028**
- Clofibrat, Serumlipide **2486, 2624**
- Clostebol bei chronischer Hepatitis **2074**
- CO-Vergiftung **2240**
- Coma diabeticum, niedrig dosierte Insulintherapie **1995**
- Cor pulmonale und Digitalis-intoxikation **2002**
- Corticosteroide, Wirkung bei Lymphogranulomatose **2183**
- Cotenius-Medaille **2369**
- Cyclophosphamid, Synchronisationstherapie bei malignen Lymphomen **1719**
- D**
- Dehydratation, hyperosmolare, im Kindesalter **1479**
- Diabetes, juveniler **2000**
- Diabetes mellitus, arterielle Verschlusskrankheit **1827**
- –, Mammakarzinom, metastasierendes **2422**
- –, Ovulationshemmer **2411**
- –, Sympathektomie **2058**
- –, Virusätiologie **1997**
- Diarrhoe, chologene, Ursachen der **1639**
- Digitalis, Alter **2510**
- Digitalis, Herzinfarkt, akuter **2417**
- , Herztherapie mit, seit 200 Jahren **1980**
- , Kontraktilität der insuffizienten Ventrikel unter Belastung **2265**
- Digitalisintoxikation, Serumglykosidkonzentration **1768**
- , und Cor pulmonale **2002**
- Digoxin, biologische Verfügbarkeit bei Billroth II-Magen **2430**
- Dihydroergotamin, postoperative Thromboembolieprophylaxe **2065**
- Diphenylhydantoin-Intoxikation, akute Polyneuropathie **1532**
- Diphtherie-Schutzimpfung, Entwicklung durch Emil von Behring **2172**
- Diuretika-Therapie, Na:K-Quotient im Urin **1918**
- DMW – 100 Jahre
- , Antidiabetika, orale, Entdeckung **2653**
- , Atebrin, Einführung des **2583**
- , Cholera-Erreger, Entdeckung des **2119**
- , Emil von Behring, aktive und passive Schutzimpfung **2172**
- , Haemophilus influenzae, Erstbeschreibung durch Richard Pfeiffer **2405**
- , Maul- und Klauenseuche, Entdeckung des Virus der – **2355**
- , Robert Koch, seine Bedeutung für die Tropenmedizin **1933**
- , Röntgenstrahlen, Einführung in die Medizin **2457**
- , Rotz-Bazillus, Entdeckung des **2292**
- , Schutzimpfung, aktive und passive, Emil von Behring **2172**
- , Sulfonamide, Entdeckung der **2617**
- , Tetanusbazillen, Entdeckung der **2230**
- , Tuberkelbazillen-Färbung, Entdeckung der **2055**
- , Tuberkulin, Entdeckung des **1925**
- , Ultraviolettlicht, Ultraschall, Einführung in die Medizin **2549**
- , Wassermannsche Reaktion, Entwicklung der **2506**
- L-Dopa, decarboxylase-geblockt, Atemverhalten von Parkinson-Kranken **1461**
- –, -Therapie, Nebenwirkungen **2165**
- Dünndarmpassage, Caerulein **2488**
- Dünndarmschleimhaut, digestiv-resorptive Funktion **1603**
- E**
- Echokardiographie, asymmetrische Septumhypertrophie **2189**
- Econazol, poliklinische Prüfung **1497**
- , vulvo-vaginale Mykose **1730**
- Echthyma contagiosum **2515**
- Einwanderungsbeschränkung für ausländische Ärzte in USA **1756**
- Emphysem, retrobulbäres, und frontale Schädelfraktur **2304**
- Endokarditis, akute bakterielle **2589**
- Enteroviren, Persistenz von Antikörpern in der gesunden Bevölkerung **1663**
- Eosinophilenleukämie, Naphthol-AS-D-chloracetat-Esterase-positive Granula, beim Kind **2092**
- Ernst-von-Bergmann-Plakette **1680, 2414, 2624**
- Ernst-Klenk-Stiftung **2062**
- Erregungsrückbildungsstörungen, unspezifische **1646**
- Erythema e calore **2415**
- Erythematodes, systemischer **2555**
- Erythrozyten-Antikörper, irreguläre, Häufigkeit **1567, 1712**
- Essig und Blutalkohol **1647**
- Etoibrat, Serumlipide **2486, 2624**
- Exfoliativ-Zytologie, Tubenkarzinom-Früherkennung **1476**
- Exostosen, multiple kartilaginäre, Kolon- und Magen-Polypose **2316**
- F**
- Faserembolien, Komplikationen bei Eingriffen am Herzen **1551**
- Feinnadelbiopsie, Metastasen-leber **2602**
- Fettleber, alkoholische bei Primaten **1616**
- Fibrinolyse, arterielle Verschlusskrankheit, Phlebothrombose **1687**
- Fieber, Abwehrmechanismus **1805**
- Fludrocortison, orthostatische Kreislaufregulationsstörung, Ophthalmodynamographie **1790**
- Fornixdivertikel **2516**
- G**
- Gastritis, Billroth-I-Magen, Reflux **2385**
- Gastrostomie-Ernährung, Ösophagusersatzplastik nach **2462**
- Galaktographie, Mammakarzinom-Frühdagnostik **1916**
- Gallensteinauflösung in vivo **1619**
- Gangrän, Wirkung von Vasodilatoren **2658**
- Gegenpulsation, intra-aortale **1968**
- Gentamicin, Vergleich mit Tobramycin, Sisomicin **2144**
- Gerinnungsstörungen beim Lyell-Syndrom **2337**
- Geschlechtskrankheiten, Erkrankungsziffer **1974 1756**
- Gicht und Alkohol **1752**
- Gichttophi, Rückbildung von **2183**
- Giftgas, Lungenkrebs **1483**
- Glaukombehandlung, konservative **1919**
- Glibenclamid, Vergleich mit Gliquidon **1733**
- Gliom bei tuberöser Hirn-sklerose **1553**
- Gliquidon, Wirkungsmechanismus **1733**
- Glomerulonephritis **1551**
- , Formen der **1800**
- , primäre, spezielle Pharmakotherapie **1803**
- Glucosebelastung, Blutzuckeranstieg **2587**
- Gonarthrose, Gelenkersatz bei **2411**
- Gruppenunterricht, klinischer **2545**
- Gynäkomastie **2612**
- , Therapie der **1741**
- H**
- Haarausfall, Quecksilbervergiftung **1694**
- Hämagglutination, indirekte, Vergleich mit indirekter Immunfluoreszenz, chronische Pyelonephritis **2086**
- Hämoperfusion, Kohle-, bei Knollenblätterpilzvergiftung **2509**
- Hämophilie A, Gelenkblutungen, ambulante Substitutions-therapie **1523**
- Haemophilus influenzae, Erstbeschreibung **2405**
- Hämorrhagische Diathesen, elektrische Impedanz-Messung, Suchmethode **1657, 1916**
- Haferflocken, Reduktionsdiät **2658**
- Haftpflicht für Ärzte, USA **1648**
- Harnwegsinfektion, Lokalisation, Nachweis antikörperbesetzter Bakterien im Urin **2598**
- bei Kindern **2636**
- Heparin, subkutan, zur Thromboseprophylaxe **2014**
- Hepatitis A, anikterische **2553**
- B-Antigen, Nachweis von **2464**
- , chronische, B-Vitamine und Clostebol **2074**
- bei Primaten **1616**
- , Übertragung **1515**
- , durch Hochdruckinjektion **2465**
- Hepatosplenopathie nach paratertiärem Butylphenol **2216**
- Herpes simplex, rezidivierender, Levamisol **2510**
- Herzinfarkt, Anteroseptalinfarkt mit Rechtsschenkelblock **1554**
- , Antikoagulantien nach **1753**
- , Intensivpflege **2588**
- , junger Männer **2129**
- , serumlipidsenkende Pharmaka **1611**
- , akuter, Digitalis bei **2417**
- , Nitroglycerinwirkung **2003**
- , Verlauf und Prognose bei älteren Menschen **2133**
- Herzinsuffizienz, bradykarde, Schrittmacherimplantation **2070**
- Herzmyxome **2270**

- Herzrhythmusstörung, durch Heparin 2182
- Herzrhythmusstörungen nach Schleudertraumen 2623
- , tachykardie, antiarrhythmische Therapie 1810
- Herzschrittmacher, Verlängerung der Funktionszeit 1683
- Herzschrittmacherimplantation, Reizschwellenverhalten 2150
- Herztöne, kindliche, Kontrolle 1482
- Hidradenoma papilliferum 2187
- Hippokrates-Medaille 1484
- Hirnabszess, bakterielle Meningitis 2234
- Histotechnologie, USA 2468
- Hodenatrophie bei chronischen Leberkrankheiten 2465
- Hüftgelenkdysplasie 1997
- Hüftgelenkoperationen, Thromboseprophylaxe mit Calciumheparinat 2014
- Hydroxyharnstoff, Chemotherapie beim soliden Neurosarkom 2102
- Hypernephrom, inoperables, Embolisation durch intraarterielle Thrombinapplikation 2428
- Hyperosmolare Dehydration bei Kindern 1479
- Hyperostose, sterno-kostoklavikuläre 1519
- Hyperoxalurie, erworbene, Nephrolithiasis 1509
- Hyperthermie, maligne 1974
- Hyperthyreose, T₃⁻, exzessive Thyroxin (T₄)-Konversion 2319
- Hypertonie, Blutdrucksenkung, therapeutische 1874
- , essentielle, Prindolol 1726
- Hypoglykämiesyndrom, kindliches, diffuse nesidioblastische Inselhyperplasie 1906
- Hypokaliämie 1614
- Hypoparathyreoidismus, chronischer sekundärer, und Pseudotumor cerebri 2213
- Hypothyreose, zerebellare Ataxie 1504
- I**
- IHSS, echokardiographisch-diagnostische Kriterien 1759
- Immundefekt, angeborener, generalisierte BCG-Histiozytose 2604
- Immundefekte bei Kindern, Therapie 1711
- Immundefizienz, indirekte, Serodiagnostik der chronischen Pyelonephritis 2086
- Immunsuppressiva, Lupus erythematodes visceralis 2591
- Impedanz-Messung, elektrische, bei Blutgerinnungsstörungen 1657, 1916
- Infektionskrankheiten, Epidemiologie 2401
- Influenza-Lebendimpfstoff, attenuierter 2629
- Inselhyperplasie, diffuse nesidioblastische, kindliches Hypoglykämiesyndrom 1906
- Insulin, Dosierung bei Diabetes 2623
- , – im Coma diabeticum 1995
- , Körpergewicht, kontinuierliches Blutzuckertagesprofil 1595
- , niedere Dosierung 2623
- Intensivpflege, Herzinfarkt 2588
- Intrauterinpressare, Komplikationen durch 2513
- Intubationsnarkose, Überwachungsdauer nach 2058
- Isosorbiddinitrat, akuter Myokardinfarkt 2003
- J**
- Jodmangel, alimentärer, in der BRD 1937
- ¹³¹J-Cholesterin-Szintigraphie, Nebennieren 2524
- K**
- Kala-Azar (viszerale Leishmaniose) 2022
- Kammerflimmern, Demand-Schrittmacher 2439
- Kardiomyopathie, Lupus-, bei unkompliziertem LE 2138
- Karzinoid 2163
- Katecholamine, Ausscheidung unter Antihypertensiva, Phäochromozytom 2349
- Kaverne, Differentialdiagnose der – im Thoraxbild 1742
- Kavität, Thoraxbild 1742
- Keimbesiedlung bei Neugeborenen 1918
- Keimzahlbestimmung im Mittelstrahlurin 1614
- Kinder, behinderte 2624
- Knochenmarksuntersuchung, Sternalpunktion oder Myelotomie 1872
- Knollenblätterpilzvergiftung 1714
- , Kohle-Hämoperfusion 2509
- Kolon, Syndrom des angeborenen kleinen linken – 2554
- , irritables 2610
- Kolonpolypen 1917
- , chirurgische Therapie 1672
- Kolon-Polypose, multiple kartilaginäre Exostosen bei 2316
- Kontaktlinse als Therapeutikum 2572
- Kontrazeptiva s. a. Ovulationshemmer
- , Gefäßkrankheiten 2058
- Koronarangiogramm, Belastungs-EKG, Beziehungen zwischen – und 2538
- Koronarangiographic, Komplikationsraten 1863
- Koronararterien, Verteilungsmuster, Einbau in das Myokard 2448
- Krankenhausbetten, Überschuß in USA 2413
- Krankheitsstatistik 1921
- Kreatinin, Erhöhung im Serum 1583
- Krebshäufigkeit bei Mormonen 2624
- L**
- Langerhanssche Inseln, Implantation 2238
- Laparotomie, explorative, bei Lymphogranulomatose 1487
- Laser-Koagulation, endoskopische, 1678
- Lebensmittel, Tiefgefrieren 2511
- Leber, Metastasen-, zytologische Untersuchungen 2602
- Leberkrankungen, akute, chronische, Androgenstoffwechsel und Leydig-Zellfunktion 1881
- , Phenolisatin-induzierte 2530
- Leberkarzinom, Klinik des 1625
- , nach Remission einer akuten Lymphoblastenleukämie 1792
- Leberkrankheiten, chronische, Hodenatrophie bei 2465
- , –, Lipoproteinmuster 2156
- Leberschäden, arzneimittelbedingte, Richtlinien zur histologischen Beurteilung 1746
- Lebertransplantation 2047
- Leberzirrhose bei Primaten 1616
- Leukämie, akute lymphatische, im Kindesalter, Erhaltungstherapie 2169
- , chronisch-myeloische, Mamma-karzinom, gleichzeitiges Vorkommen 2568
- , Eosinophilen- 2092
- , myelogene, nach Alkylantientherapie eines Plasmozytoms 1961
- , therapieresistente, des Erwachsenen kombinierte Chemotherapie 2478
- Levamisol, entzündlich-rheumatische Erkrankungen, Sarkoidose 2297
- , Hautkrankheiten 1710
- , Herpes simplex 2510
- , Melanom, malignes 2510
- Leydig-Zellfunktion, akute und chronische Leberkrankungen 1881
- Linkshändigkeit 2511
- Lipide im Serum 2624
- Lipoproteine, bei chronischen Leberkrankheiten 2156
- X, Nachweis bei Cholestase 2193
- Liquorproteine, Pathophysiologie 1630
- Lown-Ganong-Levine-Syndrom 2556
- , Diagnostik 2536
- Lues II 2371
- Lues III (Gummata) 2001
- Lungenatelektase, totale 1518
- Lungenembolie, Perfusionszintigramm 1715
- Lungenerkrankungen, obstruktive 2298
- Lungenfunktion, Theophyllin-Äthylendiamin, orale Langzeit-Broncholyse 2482
- Lungeninfiltration, akute beidseitige, Komplikation der zytostatischen Therapie 2098
- Lungenkrebs, ektopische ACTH-Produktion 1755
- , Giftgas 1483
- Lupus erythematodes discoides 1875
- – disseminatus, Lupuskardiomyopathie 2138
- –, Nervensystem-Frühermanifestation 2328
- –, viszeralis, Klassifikation, immunsuppressive Therapie 2591
- Luxation, perilunäre 2064
- Lyell-Syndrom, Gerinnungsstörungen 2337
- Lymphangiomyomatose, generalisierte 2277
- Lymphknotenentfernung, prophylaktische, bei Melanom 2659
- Lymphknoteninfarkt mit fieberhafter Erkrankung 1680
- Lymphogranulomatose s. a. Morbus Hodgkin
- , Corticosteroidwirkung 2183
- , explorative Laparotomie, Splenektomie 1487
- , Synchronisationstherapie mit Vincristin, Cyclophosphamid, Phase-II-Studie 1719
- Lymphome, kutane, T- und B-Lymphozyten 2562
- Lymphosarkom, Vincristin-Cyclophosphamid-Synchronisationstherapie 1719
- Lymphosarkome, kindliche, Therapie 1548
- Lymphozyten, T- und B-, kutane Lymphome 2562
- M**
- Magenbezoare, Therapie 1602
- Magenfrühkarzinom, in Europa 1946
- Magenkarzinom, Ernährung 1515
- Magen-Polypose, multiple kartilaginäre Exostosen bei 2316
- Magenresektion nach Billroth II, biologische Verfügbarkeit von Digoxin bei 2430
- Magenschleimhaut, Dysplasien 1950
- Magenuntersuchung, röntgenologisch, Doppelkontrastmethode 2226
- Makroamylasämie 1599

- Mammakarzinom, Galaktographie **1916**
 –, Leukämie, chronisch-myeloische, gleichzeitiges Vorkommen **2568**
 –, metastasierendes, und Diabetes mellitus **2422**
 –, Sensibilitätsstörung gegen Zytostatika in vitro **2035**
 –, Stadium I **1714**
 Masernschutzimpfung nach Virusmeningitis **2059**
 Mastozytose **1617**
 Maul- und Klauenseuche, Entdeckung des Virus **2355**
 Medizinstudenten, amerikanische, Studium im Ausland **2186**
 Melanom, malignes, Levamisol **2510**
 –, Lymphknotenentfernung, prophylaktische **2659**
 Mendel-Medaille **2369**
 Meningitis, bakterielle, und Hirnabszeß **2234**
 Mesaortitis luica, Corticoide **1582**
 Migräne, Intervallbehandlung **2464**
 Miktionssynkope **2234**
 Mittelstrahlurin, Keimzahlbestimmung **1614**
 Morbus Crohn, Häufigkeit, Pathogenese **1679**
 –, haemolyticus neonatorum **1918**
 – Hodgkin, Laparoskopie **1711**
 –, Prognose und Therapie im Kindesalter **2246**
 –, Therapie **2411**
 – Köhler II **1924**
 – Parkinson, Atemverhalten unter L-Dopa, DC-geblockt **1461**
 – Pringle (Adenoma sebaceum) **1649**
 – Werlhof, akuter **2510**
 Hormonen, Krebs bei **2624**
 Multiple Sklerose, Chromosomenuntersuchungen an Lymphozyten **2028**
 Myasthenia gravis pseudo-paralytica, Therapie der **2283**
 Myelom, multiples **1485**
 Mykosen, vulvo-vaginal, Econazol **1730**
 Myokardinfarkt, akuter, prognostischer Index **2517**
 – s. Herzinfarkt
 Myokard-Szintigraphie mit Thallium-201 **2373**
- N**
- Nagelverfärbung, Quecksilbervergiftung **1694**
 Naphthol-AS-D-chloracetat-Esterase-positive Granula, Eosinophilenleukämie **2092**
 Narkose, Allgemein-, Überwachung nach **2058**
 Nasopharynxkarzinom, okkultes **2527**
- Natrium-Kalium-Quotient im Urin **1918**
 Natrium-Kreatinin-Quotient im Harn, Plasmareninaktivität, Nomogramm **2649**
 Nebennieren-Szintigraphie mit ¹³¹I-Cholesterin **2524**
 Necrobiosis lipoidica diabetorum **1517**
 Neoplasien im Kindesalter, maligne, Radio-Chemotherapie des Zentralnervensystems **1651**
 Nephrolithiasis und Hyperoxalurie, erworbene **1509**
 Nephropexie bei Senkniere **1501**
 Neuroleptika, trizyklische, Patienteninformation, Blutbildkontrollen **1715**
 Neuro-Phospholipidose, kutane, als Arzneimittelnebenwirkung und bei malignen metastasierenden Tumoren **1809**
 Neurosarkom, solides, Chemotherapie mit Hydroxycarnitinstoff **2102**
 Niereninsuffizienz, Hämostase bei **2299**
 –, chronische, cAMP-Gehalt des quergestreiften Muskels **2397**
 –, Serumamylase bei **2658**
 Nierentransplantation bei Kindern **1641**
 –, Pilzinfektion nach **2082**
 Nitroglycerin, akuter Myokardinfarkt **2003**
 Nobelpreis für Medizin **1975**
 2302
 Normann-Medaille **2370**
- O**
- Obduktion, 1600 Jahre nach dem Tod **2000**
 Ösophagusersatzplastik, Gastrostomie-Ernährung **2462**
 Ösophagusvarizenblutung, Pneumothorax als Therapieversuch **2125**
 Ohrgeräusche **1753**
 Onkozytom **2063**
 Ophthalmodynamographie, Fludrocortison bei orthostatischen Beschwerden **1790**
 Orthostatische Kreislaufregulationsstörung, Fludrocortison bei **1790**
 Osteopoikilie **2416**
 Ovulationshemmer, Diabetes mellitus **2411**
 –, Glucosestoffwechsel **1703**
- P**
- Panarteriitis nodosa **2018**
 Pankreas, künstliches **1482**
 Pankreasszintigraphie **1465**
 Pankreatitis, akute hämorrhagisch nekrotisierende, vorzeitige Operation bei **2241**
 Parasitenübertragung durch Endoskope **2366**
 Parotis, Sialadenose **1545**
- Paul-Langerhans-Plakette **1616**
 Pemphigus chronicus benignus familiaris **1585**
 D-Penicillamin, Nebenwirkungen **1634**
 –, –, Präparate, Verträglichkeit **1646**
 –, –, Therapie, antinukleäre Faktoren **2198**
 Perfusionszintigramm, Lungenembolie **1715**
 Perikarditis, akute **1618**
 Peroneusparesen, periphere, Therapie bei **1483**
 Petit mal, posttraumatisch **2366**
 Pflegehilfe **2414**
 Phäochromozytom **2469**
 –, Antihypertensiva, Katecholaminausscheidung **2349**
 –, Herzgeräusch, diastolisches **1530**
 Pharmaka, Metabolismus von –, Arzneimittelsicherheit **2285**
 Phenacetin, Nierenschädigung **1451, 1709, 2057**
 Phenolisatin, Lebererkrankungen **2530**
 Phenprocumon (Marcumar®), Mordversuch mit **1838**
 Phenylbutazon in der Stillzeit **2366**
 Philipp-Stöhr-Medaille **2370**
 Phlebothrombose, Fibrinolyse **1687**
 Phospholipidose, kutane Neuro-, als Arzneimittelnebenwirkung und bei malignen metastasierenden Tumoren **1809**
 Photochemotherapie, Psoriasis **2471**
 Pilzinfektionen nach Nierentransplantation **2082**
 Plasmareninaktivität, Prindolol bei essentieller Hypertonie **1726**
 Plasmozytom, Alkylantien, myelogene Leukämien **1961**
 –, intravenöse Urographie **1813**
 Plazentalokalisation **1482**
 Pneumothorax **2188**
 –, Therapieversuch bei Ösophagusvarizenblutung **2125**
 Pockenimpfpflicht, allgemeine, Aufhebung der **2000**
 Pockeninfektiosität und Impfschutz **2062**
 Pockenschutzimpfung und Antikoagulantientherapie **1615**
 Poliklinik, medizinische, Universität Basel, 100jähriges Jubiläum **2238**
 Polyarthritiden, chronische, testpsychologische Untersuchungen **1833**
 –, juvenile chronische **2043**
 Polyneuropathie, akute, durch Diphenylhydantoin-Intoxikation **1532**
 Polypektomie, endoskopische, im oberen Verdauungstrakt **2313**
- Postcholezystektomie-Syndrom, endoskopisch-radiologische Cholangiographie **1877**
- Preis Ausschreibungen
 Alexander-Schmidt-Preis **2062**
 Angiologisches Stipendium **1516**
 Anna-Monika-Stiftung **2238**
 »Biochemische Analytik«-Preis **1820**
 C. E.-Alken-Preis **1921**
 Curt-Adam-Preis **2414**
 Dr.-Martini-Stiftung **1874**
 Edens-Preis **2186, 2554**
 Erich-Krieg-Preis **1874**
 Erlanger Förderungspreis **2659**
 Ernst-Hutzenlaub-Tierschutz-Forschungspreis **1584**
 Felix-Wankel-Tierschutz-Forschungspreis **1584**
 Ferdinand-Bertram-Preis **1820**
 Förderpreis der Deutschen Diabetes-Gesellschaft **1820**
 Franz-Redeker-Preis **2660**
 Friedrich-von-Bodelschwingh-Preis **2186**
 Gerhard-Domagk-Preis **1976**
 1516
 Hans-Liniger-Preis **2660**
 Hermann-Simon-Preis **1584**
 Hufeland-Preis **1976**
 1584
 Internationaler Preis für moderne Ernährung **2660**
 Johann-Georg-Zimmermann-Förderpreis für Krebsforschung **1584**
 Kneipp-Preis **2660**
 Kneipp-Preis für »Gesundheitsbildung« **1584**
 Ludolf-Krehl-Preise **2659**
 Max-Ratschow-Preis **2660**
 Paul-Martini-Preis **2660**
 Professor-Franz-von-Brücke-Preis **1516**
 Robert-Feulgen-Preis **1874**
 Stadt Bad Kissingen, Preis der **2660**
 Stiftung Michael **1874**
 Theodor-Frerichs-Preis **2062**
 Theodor-Naegeli-Preis **2660**
 Dr.-Willmar-Schwabe-Preis **2660**
- Preisverleihungen
 Adalbert-Czerny-Preis **2369**
 Albrecht-von-Graefe-Preis **2468**
 Alexander-Schmidt-Preis **1716**
 Alexandre-Besredka-Preis **2554**
 Alfred-Vogt-Preis **1975**
 2370
 Arnold-Biber-Preis **1648**
 Arthur-Pappenheim-Preis **2468**
 Avery-Landsteiner-Preis **2369**
 Bertram-Preis **1484**
 Curt-Adam-Preis **1552**
 Carol-Nachman-Preis **1552**
 Dr.-Dora-Seif-Preis **1820**
 Dr.-Martini-Preis **1484, 1648**
 Dr.-Willmar-Schwabe-Preis **2588**
 E.-K.-Frey-Preis **2370**
 Erich-Lexer-Preis **1484**
 Feldberg-Preis **2370**
 Franz-Schede-Preis **2588**

- G.-E.-Konjetzny-Preis 1484
 Georg-von-Hevesy-Preis 2514
 George-E.-Shambaugh-Preis 2468
 Gödecke-Forschungspreis 1874
 Gustav-Riehl-Preis 1648
 Henry-E.-Sigerist-Preis 2468
 Homburg-Preis 1716
 Homer-W.-Smith-Award in Renal Physiology 1975 2370
 Hugo-Spatz-Preis 2554
 Jubiläumspreis der Firma B. Braun-Melsungen AG 1484
 Karl-Hanser-Gedächtnispreis 2514
 Ludolf-Krehl-Preis 1648
 Ludwig-Darmstädter-Preis 1921
 Ludwig-Heilmeyer-Medaille in Gold 2514
 Ludwig-Heilmeyer-Medaille in Silber 2514
 Ludwig-Rehn-Preis 2554
 Martin-Wassmund-Preis 1716
 Max-Bürger-Preis 1820
 Max-Cloëtta-Stiftung 2624
 Michael-Preis 1552
 Minkowski-Preis 1921
 Nobelpreis für Medizin 1975 2302
 Otto-Loos-Preis 2588
 Paul-Ehrlich-Preis 1921
 Paul-Martini-Preis 1648
 Paul-Martini-Medaille in Gold 2370
 Paul-Martini-Medaille in Silber 2624
 Redel-Preis 1975 2370
 Rober-Bing-Preis 2624
 Robert-Fulgen-Preis 1874
 Robert-Koch-Preis 1921, 2370
 Röntgen-Preis 1648
 Romano-Guardini-Preis 1975 1680
 Rudolf-Schülke-Preis 1716
 Schweizerische Gesellschaft für Innere Medizin, Preis der 2588
 Spencer-Lashley-Preis 1975 2370
 Thannhauser-Preis 2370
 Thiersch-Preis 1820
 Primatenforschung, USA 2130
 Prindolol, Hypertonie essentielle 1726
 Prinzmetal-Angina 1977
 Prostatakarzinom, Frühdiagnose 1573
 -, Metastasen 2590
 Provokationstest, bronchialer, Allergen-Aerosole 2454
 Pseudo-LE-Syndrom, Arzneimittelinduzierbarkeit (Venopyronum-Dragees) 1555, 1558, 1590
 Pseudomonas-Infektionen 1701
 Pseudotumor cerebri, sekundärer Hypoparathyreoidismus 2213
 Psoriasis, Photochemotherapie 2471
 Psychiatrische Forschung, Beitrag der Verhaltensbiologie 2108
 Purpura anaphylaktoidea Schönlein-Henoch 1449
 Pyelonephritis, chronische, Serodiagnostik mit indirekter Immunfluoreszenz 2086
- Q**
 Quecksilbervergiftung, kosmetische Bleichmittel 1694
 Quinckesches Ödem 1814
- R**
 Radiojodtherapie, autonomes Adenom 2203
 Ratschow-Gedächtnismedaille 2370
 Rechtsschenkelblock mit überdrehtem Linkstyp 2125
 Reduktionsdiät mit Haferflocken 2658
 Reflomat, Blutzuckerbestimmung 1697
 Reflux, duodenaler, Billroth-I-Magen, Gastritis 2385
 Rektosigmoidkarzinom, präoperative Strahlenbehandlung 2651
 Rektumkarzinom, präoperative Strahlenbehandlung 2651
 Renin, Plasma-Aktivität, Schätzung nach Na-Kreatinin-Quotient im Harn 2649
 Reninaktivität, Bartter-Syndrom, und Plasmaaldosteron 2443
 Renin-Bestimmung, Plasma- 2553
 Respiratorische Insuffizienz, Sauerstofftherapie 1814
 Restharnbestimmung, katheterlose 2565
 Retikulumzellsarkom, Vincristin-Cyclophosphamid-Synchronisationstherapie 1719
 Rhesus-Inkompatibilität, Anti-D-Prophylaxe 2010
 Rheumatoide Arthritis, Schilddrüsenfunktionsstörungen 2300
 Rieder-Medaille 1616
 Röntgenstrahlen, Einführung in die Medizin 2457
 Rotz-Bazillus, Entdeckung 2292
 Rubeolen-Embryopathie 2299
 Rückstandsuntersuchungen, Schlachttiere 1552
- S**
 Sarkoidose 2574
 Sauerstoffpartialdruckmessung, transkutane, pädiatrische Intensivmedizin 1892
 Schädelfraktur, frontale und retrobulbäres Emphysem 2304
 Scheidungshäufigkeit 1648
 Schenkelblock, bilateraler, mit AV-Block I. Grades 1486
 Schilddrüse, autonomes Adenom 2223
 Schimmelpilztoxine 2466
 Schleiden-Medaille 2369
 Schleudertraumen der Halswirbelsäule, Herzrhythmusstörungen 2623
 Schock, septisch-toxischer 1667
 Schrittmacher, Defektserie Cordis/Stanicor 1869
 -, Demand-, Kammerflimmern bei Funktionsprüfung 2439
 -, Verlängerung der Funktionszeit 1683
 Schrittmacherimplantation, bradykarde Herzinsuffizienz 2070
 -, Reizschwellenverhalten 2150
 Sektion ohne Zustimmung 1998
 Senkniere, Nephropexie-Spätergebnisse 1501
 Septumhypertrophie, asymmetrische, Echokardiographie 2189
 Serratia-marcescens-Sepsis bei Kindern 2324
 Serumhepatitis s. a. Hepatitis B
 Serumhepatitis-Antigen 1713
 Serumlipide, Myokardinfarkt, -senkende Pharmaka 1611
 Sialadenose der Parotis 1545
 Sinuatrialer Block II. Grades 2470
 Sinusknotensyndrom, sinuatrialer Block II. Grades Typ 1 2372
 -, Sinusknotenerholungszeit 2305
 Sir-Hans-Krebs-Medaille 2370
 Sisomicin, vergleichende Pharmakokinetik mit Gentamicin, Tobramycin 2144
 Skorbut 1923
 Somatostatin, betazol-stimulierte Magensekretion 1797
 -, carbachol-stimulierte Pankreassekretion 1797
 -, Gallenblasenkontraktion 1797
 Splenektomie, bei Lymphogranulomatose 1487
 Status asthmaticus, ACTH, Corticoide 1753
 Sterilität, Aufbewahrung sterilisierter Kanülen 1872
 Steroid, anaboles (Clostebol), therapeutische Wirkung bei chronischer Hepatitis 2074
 Stipendium, angiologisches. 1516
 Stock-Spielmeyer-Vogt-Syndrom 2126
 Stoffwechselkrankheiten, hereditäre, pränatale Diagnostik 1674
 Strahlenfibrose, venöse Abflusstauung 1582, 2180
 Streptokinase, fibrinolytische Langzeittherapie 1887
 Struma diffusa nach parateritiärem Butylphenol 2216
 Subaortale Stenose, idiopathische hypertrophe, echokardiographische Kriterien 1759
 Subarachnoidalblutung 1876
 Sulfonamide, Entdeckung der 2617
 Sympathektomie, Diabetes mellitus 2058
 Syndrom, Bartter- 2443
 -, Hypoglykämie, kindliches 1906
 Syndrom, Karzinoid- 2163
 -, Lown-Ganong-Levine 2536, 2556
 -, Lyell-, 2337
 -, Postcholestyestektomie-, 1877
 -, Pseudo-LE-, 1555, 1558, 1590
 -, WPW-, 2536, 2553, 2626
 Szintigraphie, Myokard-, mit Thallium-201 2373
 -, Nebennieren-, mit ¹³¹J-Cholesterin 2524
 -, Pankreas- 1465
- T**
 Tachykardie, paroxysmale supraventrikuläre und ventrikuläre 1814
 Teflonpfannen, Überhitzung und Gesundheitsschäden 1815
 Testosteron, Plasmaandrogene nach oraler Gabe 1773
 Thallium-201, Myokard-Szintigraphie 2373
 Theophyllin-Äthylendiamin, orale broncholytische Langzeittherapie, Lungenfunktion 2482
 Thorotrast-Schäden 2126
 Thromboembolieprophylaxe, postoperative, mit Dihydroergotamin 2065
 Thromboseprophylaxe, Calciumheparinat 2014
 Thrombozytopathie, ADP-Freisetzungshemmung (»aspirinlike defect«) 1842
 Thrombozytopenien, Autoimmun-, Plättchenproduktion und lineale -speicherung 2641
 -, Differentialdiagnose 2492
 -, Therapie 2494
 Thyreoiditis de Quervain 2377
 Thyroxin-Konversion, exzessive periphere, T₃-Hyperthyreose 2319
 Tiefgefrieren von Lebensmitteln 2511
 Tierhaarallergien, Erkrankungen der oberen Luftwege 2557
 Tobramycin, Vergleich mit Gentamicin, Sisomicin 2144
 Todesursachenstatistik 1516
 Tonsillektomie, bei »Fokaltoxikose« 1871
 Transfusion, Bereitstellung von Blut vor Operationen 1997
 -, Verweigerung aus religiösen Gründen 2179, 2622
 Treitzsche Hernie, angiographische Diagnostik 1902
 Trijodthyronin-Hyperthyreose, periphere Thyroxin-Konversion 2319
 Tropenmedizin, Bedeutung Robert Kochs 1933
 Tubenkarzinom, Früherkennung durch Exfoliativ-Zytologie 1476
 Tuberkelbazillenfärbung, Entdeckung 2055
 Tuberkulin, Entdeckung 1925
 Tuberkulinallergie 2553
 Tuberkulose-Serologie 2182
 Tuberkulostatikatherapie, präventive 1997

- Tumoren, solide, Chemotherapie, adjuvante bei – 2342
 –, urologische maligne, Vorsorgeuntersuchung 2452
 Typhusdauerausscheider, Cholelithiasis 1714
 Typhusinfektionen, Verlauf im Raum Heidelberg 2209
- U**
- Ultraschall, Einführung in die Medizin 2549
 Ultraschall-Druckmessung bei arteriellen Rekonstruktionen 1473
 Unterkühlung 2132
 Ureterocele, kalkdichtes Konkrement 1450
 Urinzytologie bei Blasenkarzinom 2340
 Urobilinogenprobe bei Lebererkrankungen 1997
 Urticaria pigmentosa 1551, 2239
 UV-Licht, Einführung in die Medizin 2549
- UV-Strahlung, Mutationsgift 2623
- V**
- Vacciniaviren, Qualitätsunterschiede, neurale Komplikationen 1457
 Vagotomie, Nomenklatur der »dritten« – 2353
 Vasodilatoren bei Gangrän 2658
 Vektorkardiographie 2234
 Verhaltensbiologie, Beitrag an der psychiatrischen Forschung 2108
 Vertebralisangiographie, kortikale Blindheit nach 2621
 Verzugszeit wissenschaftlicher Arbeiten 1716
 Vincristin, Synchronisationstherapie bei malignen Lymphomen 1719
 Virushepatitis A s. Hepatitis A
 Vitiligo, nach parateritiärem Butylphenol 2216
- Vorhofflattern, atrioventrikuläre Blockierung 1758
 Vorhofflimmern, paroxysmales tachykardes 2389
 Vorhoftachykardie, paroxysmale, AV-Block II. Grades 1682
 Vorsorgeuntersuchung, maligne urologische Tumoren 2452
- W**
- Warthin-Tumor 1681
 Wassermann-Reaktion, Entwicklung der 2506
 Widal-Reaktion, Vergleich mit indirekter Immunfluoreszenz, chronische Pyelonephritis 2086
 Wolff-Parkinson-White-Syndrom 2536, 2553, 2626
- X**
- Xeroderma pigmentosum 1821
- Z**
- Zellvermehrung, Steuerung und Rolle der Zellmembran 2185
 Zentralnervensystem, Radiochemotherapie des –, maligne Neoplasien im Kindesalter 1651
 Zerebrovaskuläre Insuffizienz, chirurgische Behandlung, extrakranielle Strombahnhindernisse der Arteria carotis 1823
 Zink, Therapie der Acrodermatitis enteropathica 1549
 Zuwanderungsbeschränkung für Ärzte, Kanada 1583
 Zwerchfellparese, genuine 2465
 Zystadenolymphom, papilläres 1681
 Zytologische Untersuchungen bei Metastasenleber 2602
 Zytostatika, Sensibilitätstestung in vitro bei Mammakarzinom 2035
 Zytostatika-Therapie, akute beidseitige Lungeninfiltration als Komplikation 2098

Buchbesprechungen

- Alstrup, P.*: Investigation into Respiratory and Haemodynamic Changes following Pulmonary Surgery with special reference to the aetiology of postoperative atrial fibrillation 2185
Amirow, R. S.: Elektrokardiographie 1817
Anacker, H.: Efficiency and Limits of Radiologic Examination of the Pancreas 2412
Battagay, R., U. Rauchfleisch: Medizinische Psychologie 2061
Baumgartl, F., K. Kremer, H. W. Schreiber (Hrsg.): Spezielle Chirurgie in der Praxis 1920
Beck, F., J. B. Lloyd (Editors): The Cell in Medical Science 1817
Bloomfield, D. A.: Dye Curves 2413
Boblig, H.: Lunge und Pleura 2368
Boscham, H. W.: Gynäkologische Zytodiagnostik für Klinik und Praxis 2237
Breit, A. (Hrsg.): Wertigkeit radiologischer Methoden. Niere-Leber-Pankreas 2301
Breuer, H., D. Hamel, H.-L. Krüskemper: Methoden der Hormonbestimmung 1999
Burton, A. C.: Physiologie et Biophysique de la Circulation 2128
Chapchal, G.: The Arthrodesis in the Restoration of Working Ability 2236
Ciba Foundation Symposium: The Poisoned Patient: the role of the laboratory 2061
Cooper, P.: Poisoning by Drugs and Chemicals, Plants and Animals 1818
Cowan/Steel: Manual for the Identification of Medical Bacteria 2413
Cramer, H., G. Obly: Die Koloskopie in der Praxis 2184
Crowley, E. V.: An Introduction to Clinical Embryology 2128
Dahm, K., M. Rebner (Hrsg.): Das Karzinom im operierten Magen 2300
Daniels, J., W. Hagen, H. Lehmkuhl, F. Pürckhauer, E. Schröder, J. Stralau, C. L. P. Trüb (Hrsg.): Das öffentliche Gesundheitswesen 2127
Dietel, K.: Die Haut und ihre Erkrankungen im Kindesalter 1873
Dorndorf, W.: Schlaganfälle 2235
Drews, G.: Mikrobiologisches Praktikum 2060
Dubois, E. L.: Lupus Erythematosus 2301
Epstein, B. S.: The Vertebral Column 2185
Grundmann, F., H. Grunze, S. Witte: Early Gastric Cancer 1754
Hafner, E., H. Ch. Meuli: Röntgenuntersuchungen in der Orthopädie 1817
Hager, W., A. Selig: Praxis der Schrittmachertherapie 1754
Hamm, J. (Hrsg.): Interstitielle Lungenerkrankungen – Lungenfibrosen 2184
 Handbuch der Inneren Medizin, Bd. 2 Teil 5 1921, Bd. 2/Teil 4 1999
 Handbuch der allgemeinen Pathologie, Bd. 9 2236
Hegglin, R.: Differentialdiagnose innerer Krankheiten 1815
Heisig, N.: Diabetes und Schwangerschaft 1754
Helmchen, H., H. Hippus (Hrsg.): Entwicklungstendenzen biologischer Psychiatrie 2512
Heyden, S.: Gesunde Kost – Gesundes Herz 1816
Hollwich, F., B. Verbeck: Augenheilkunde für das Krankenpflegepersonal 2368
Holtmeier, H.-J.: Diät bei Übergewicht und gesunde Ernährung 1960
Holtmeier, H.-J., L. Weisbecker (Hrsg.): Chemotherapie der Problemkeime 1816
Horn, H., M. Privora, W. Weuffen: Handbuch der Desinfektion und Sterilisation 2185
Irnieh, W.: Einführung in die Bioelektronik 2412
Ivemark, B.: Kinderpathologie 2513
Johnson, F. N.: Lithium Research and Therapy 2237
Kaiser, R.: Hormonale Behandlung von Zyklusstörungen 2301
Keidel, W. (Hrsg.): Kurzgefaßtes Lehrbuch der Physiologie 2512
Krauth, J.: Grundlagen der Mathematischen Statistik für Bio-Wissenschaftler 2061
Kuschinsky, G., R. Lindmar, U. Wollert: Kurs der Allgemeinen Pharmakologie und Toxikologie 1755
Lawin, P. (Hrsg.): Praxis der Intensivbehandlung 2466
Lindenschmidt, Th.-O. (Hrsg.): Pathophysiologische Grundlagen der Chirurgie 2368

- Losse, H., U. Gerlach, F. Wetzels (Hrsg.): Rationelle Therapie in der inneren Medizin 1754
- Mathé, G. R. Weiner: Investigation and Stimulation of Immunity in Cancer Patients 2467
- Mathé, G., Y. Kenis: La Chimiothérapie des Cancers 2060
- Matthes, A.: Epilepsie 2235
- Ottenjann, R.: Optimierte rationale Diagnostik in der Gastroenterologie 1817
- Perlemuter, L., P. Obraska, J. Querauwilliers: Dictionnaire pratique de thérapeutique médicale 1816
- Pfeiffer, C. J., G. Rowden, J. Weibel: Gastrointestinal Ultrastructure 2127
- Picard, J.-D.: Le Sein / The Breast 2513
- Raffensperger, J. G., R. A. Seeler, R. Moncada: Das akute Abdomen im Neugeborenen- und Kindesalter 1816
- Rajka, G.: Atopic Dermatitis 2467
- Ross, E. J.: Aldosterone and Aldosteronism 1755
- Schepank, H.: Erb- und Umweltfaktoren bei Neurosen 1818
- Schöll, A.: Therapieergebnisse bei Mamma-Karzinom nach Androgenbehandlung 1921
- Schölmerich, P., H.-P. Schuster, H. Schönborn, P. P. Baum (Hrsg.): Interne Intensivmedizin 1998
- Schormüller, J.: Lehrbuch der Lebensmittelchemie 2184
- Schraml, W. J., U. Baumann (Hrsg.): Klinische Psychologie 2368
- Schuchardt, K. (Hrsg.): Fortschritte der Kiefer- und Gesichtschirurgie 2184
- Siggaard-Andersen, O.: The Acid-Base Status of the Blood 2060
- Squire, L. F., W. M. Colaiace, N. Strutynsky: Übungen in radiologischer Diagnostik 1872
- Starck, D.: Embryologie 2059
- Steiniger, U., H. Theile (Hrsg.): Funktionsdiagnostik im Kindesalter 2127
- Stöfen, D.: Blei als Umweltgift 2237
- Teschendorf, W., H. Anacker, P. Thurn: Röntgenologische Differentialdiagnostik 1920
- Thomas, C., T. Windt, E. Grom: Hämatologische und endokrine Formen des paraneoplastischen Syndroms 2412
- Thome, R., G. Wagner: Dokumentation, Datenverarbeitung und Statistik in der Medizin 1999
- Velbagen, K.: Tafeln zur Prüfung des Farbensinnes 1873
- Valvassori, G. E., R. A. Buckingham: Tomography and Cross Sections of the Ear 1998
- Vorberr, H.: The Breast 1873
- Watzka, M.: Kurzlehrbuch der Histologie und mikroskopischen Anatomie des Menschen 1873
- Wende, S., E. Zieler, N. Nakayama: Cerebral Magnification Angiography 2127
- Wiendt, H.-J.: Zur Frühdiagnose des Magenkarzinoms 2236
- Zollinger, H. U.: Pathologische Anatomie 2466

Verhandlungsberichte

Biologie des Alterns, 59. Tagung der Deutschen Gesellschaft für Pathologie 1910

Vor- und Frühstadien des Mammakarzinoms, Sektion Gynäkopathologie der Deutschen Gesellschaft für Pathologie 2053

Aktuelle Diagnostik

Redaktion:

Prof. Dr. H. Hornbostel, Hamburg

Prof. Dr. W. Kaufmann, Köln

Prof. Dr. W. Siegenthaler, Zürich

Dtsch. med. Wschr. 100 (1975), 2223-2225
© Georg Thieme Verlag, Stuttgart

Das autonome Adenom der Schilddrüse

H. G. Heinze, C. R. Pickardt und P. C. Scriba

Klinik und Poliklinik für Radiologie (Direktor: Prof. Dr. J. Lissner) und
II. Medizinische Klinik (Direktor: Prof. Dr. E. Buchborn)
der Universität München

Die früher ausschließlich szintigraphische Diagnostik des autonomen Adenoms ist auch heute noch eine nuklearmedizinische Domäne (1, 9, 15, 17), obwohl die Klärung dieser Fälle durch endokrinologische Methoden vereinfacht und zuverlässiger wurde. Rein klinische Symptome oder histologische Befunde sind nicht pathognomonisch (14, 15). Trotz des Altersgipfels nach der vierten Dekade häufen sich die Beobachtungen bei jüngeren Patienten. Eine endokrine Ophthalmo- und Dermatopathie (8) schließt ein autonomes Adenom aus. Oligosymptomatische Verlaufsformen, insbesondere mit Herzrhythmusstörungen bei älteren Patienten, sind nicht spezifisch für das hyperthyreote autonome Adenom. Viele autonome Adenome werden erstmals auf Grund sogenannter warmer oder heißer Knoten im ^{99m}Tc -Technetium-Pertheneat- (oder ^{131}J -)Szintigramm bei einer Basisuntersuchung (9) wegen Schilddrüsenvergrößerung oder klinisch fraglicher Schilddrüsenfunktionsstörung entdeckt.

Definition: Ein autonomes Adenom ist ein meist knotig tastbares Areal in der Schilddrüse, das unabhängig von der Stimulation durch das thyreotrope Hypophysenvorderlappenhormon (TSH) Schilddrüsenhormone bildet und freisetzt. Solange die Schilddrüsenhormonsekretion aus dem autonomen Adenom eine kritische Grenze nicht übersteigt (13, 15), bleibt die thyreotrope Stimulation erhalten. Das paranoduläre Gewebe wird im szintigraphischen Bild durch die Radionuklid-speicherung dargestellt, so daß nach dem Szintigramm vom sogenannten kompensierten (heißer Knoten in einer speichernden Schilddrüse) oder vom maskierten (Struma nodosa ohne deutlich erkennbaren heißen Knoten) autonomen Adenom gesprochen wird. Bei erhöhter Schilddrüsenhormonsekretion aus dem autonomen Adenom wird über den Rückkopplungsmechanismus die endogene TSH-Sekretion dagegen supprimiert, so daß das szintigraphische Bild eines sogenannten dekompenzierten autonomen Adenoms durch Ruhigstellung des paranodulären Schilddrüsenorgans entsteht.

Die szintigraphische Einteilung erfolgt nach folgenden Kriterien: Bei einem Impulsratenverhältnis von 100% im heißen Knoten zu über 20% im paranodulären Gewebe sprechen wir von einem kompensierten autonomen Adenom. Nimmt das paranoduläre Gewebe weniger als 10% der Aktivität des heißen Knotens auf, so liegt ein dekompenziertes autonomes Adenom vor. Zwischen 10% und 20% Speicherung im paranodulären Gewebe

sprechen wir von Übergangsformen (fast dekompenziertes autonomes Adenom).

Es sind also unterschiedliche Funktionszustände des autonomen Adenoms zu berücksichtigen, die ebenfalls grundsätzlich verschiedene diagnostische Wege erfordern.

Kompensiertes autonomes Adenom

Dem szintigraphischen Bild entsprechend ist die endogene TSH-Sekretion dieser Patienten normal (13, 16). Der Stimulationstest mit 200 µg TRH (»thyrotropin releasing hormone«) intravenös führt bei diesen Patienten zu einem normalen TSH-Anstieg (Normalbereich des Anstiegs 30 min nach Injektion: 2,7 bis 23,6 µE/ml [13]). Die peripheren Schilddrüsenhormonspiegel sind im allgemeinen normal. Diese diagnostischen Verfahren sind also zum Nachweis eines kompensierten autonomen Adenoms ungeeignet.

Der Nachweis der Autonomie des heißen Knotens im speichernden Schilddrüsenorgans erfolgt mit dem Suppressionstest, der zur Unterdrückung des paranodulären Gewebes, nicht aber des Adenoms führt.

Durchführung des Suppressionstests: Zur Basisdiagnostik ist jetzt ein Radiojod-Zweiphasentest mit Szintigramm und Impulsratenmessung über dem warmen oder dem heißen Bezirk sowie über dem paranodulären Schilddrüsenorgans zu fordern (1, 9).

Erst wenn die Testaktivität aus der Schilddrüse verschwunden ist (nach etwa drei bis vier Wochen, entsprechend vier effektiven Halbwertzeiten), sollte der Suppressionstest begonnen werden, da anderenfalls eine fehlende Suppression im paranodulären Gewebe vorgetäuscht werden kann. Zur Suppression verabreicht man entweder 60 µg Trijodthyronin (7 Tage vor und an den 3 Tagen während des zweiten Radiojodtests [4]) oder 3 mg Thyroxin als einmalige Dosis 7 Tage (12) vor dem zweiten Radiojodtest. Auch multiple autonome Adenome kommen, wenn auch selten, auf diese Weise zur Darstellung.

Diese aufwendige Diagnostik ist trotz aller Fortschritte auch heute noch bei Verdacht auf ein kompensiertes autonomes Adenom erforderlich, da die Erfahrung gelehrt hat, daß ein einfaches Suppressionsszintigramm, zum Beispiel mit ^{99m}Tc -Pertheneat, auf Grund der willkürlichen Einstellung und der subjektiven Beurteilung der Szintigramme häufig zu Fehldiagnosen führt. Besonders Börner und Mitarbeiter (1) haben auf die Schwierigkeit der Diagnostik und die Möglichkeiten zur Fehldiagnose aufmerksam gemacht und auf die Bedeutung von Kontrollszintigrammen nach behandlungs-

freiem Intervall hingewiesen. Wir halten daher den Vergleich der Änderungen der Radiojodspeicherungskurve und des Impulsraten-Verhältnisses zwischen Adenom und paranodulärem Gewebe nach Suppression für die zuverlässigsten diagnostischen Kriterien des kompensierten autonomen Adenoms.

Dekompensiertes autonomes Adenom

Stellt sich im normalen Schilddrüsenszintigramm ein isoliert speichernder Knoten dar, ohne daß das paranoduläre Gewebe abgebildet wird, so besteht der Verdacht auf ein dekompenziertes autonomes Adenom, dessen Schilddrüsenhormonproduktion zu einer Suppression der endogenen TSH-Spiegel geführt hat. Dieser Verdacht wird heute bestätigt durch

1. den szintigraphischen Nachweis paranodulären Schilddrüsengewebes und

2. den Nachweis der Suppression der endogenen TSH-Spiegel.

3. Durch Bestimmung der Schilddrüsenhormonspiegel im Serum ist die Schilddrüsenfunktion zu klären.

Ad 1. Im Gegensatz zum kompensierten autonomen Adenom verwendet man zum szintigraphischen Nachweis des dekompenzierten autonomen Adenoms ^{99m}Tc -Technetium-Perchnetat. Es bietet den Vorteil der schnelleren Durchführbarkeit, der besseren Zählstatistik auf Grund der höheren verabreichten Aktivität bei gleichzeitig geringerer Strahlenbelastung der Schilddrüse. Zum Nachweis des paranodulären Schilddrüsengewebes empfiehlt sich heute die empfindlichkeitsmodulierte Schilddrüsenszintigraphie (17): Auf Grund einer geringen Restfunktion der nicht autonomen und daher »supprimierten« Schilddrüsenanteile gelingt es, auch diese Anteile szintigraphisch sichtbar zu machen, wenn das Impulsmaximum des Scanners um 50 bis 100% über der Impulsrate des Untergrundes (also einer Region außerhalb des Schilddrüsenlagers) eingestellt wird. Dabei wird die Abtastgeschwindigkeit verringert und zur Schonung des Schreibwerkes darauf verzichtet, den schon aus der Erstuntersuchung bekannten heißen Knoten erneut mit darzustellen. Zur Vermeidung von Überstrahlungen in der Randregion des heißen Knotens wird bei großer Impulsratendifferenz zwischen dem heißen Knoten und den paranodulären Gewebeanteilen vorteilhafterweise ein hochenergetischer, hochauflösender Kollimator auch bei ^{99m}Tc -Technetium-Perchnetat verwendet.

Bei Anwendung der empfindlichkeitsmodulierten Szintigraphie kann eine kugelige Schilddrüse oder eine einseitige Schilddrüsenaplasie ausgeschlossen werden. Damit kann auf die aufwendige und nicht gefahrlose Stimulation der Schilddrüse durch exogenes TSH (TSH-Stimulationstest, Stimulations-Szintigramm [3]) verzichtet werden, zumal die TSH-Injektion zu einer eventuell kritischen Erhöhung der Schilddrüsenhormonspiegel führen kann, da auch das autonome Adenom mit einer Schilddrüsenhormonfreisetzung auf TSH reagiert (3, 7).

Der Nachweis fehlender Suppressierbarkeit des heißen Knotens durch einen Suppressionstest ist ebenfalls nicht

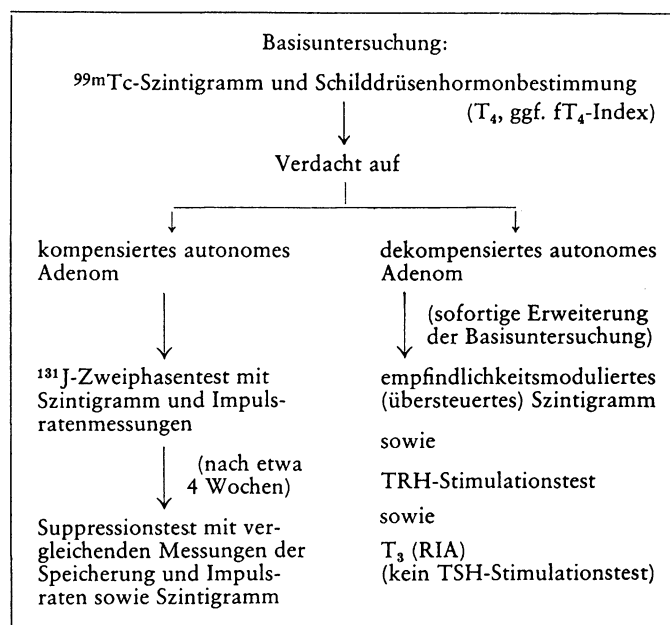
ungefährlich, da zu der oft bestehenden Erhöhung der Schilddrüsenhormonspiegel eine zusätzliche exogene Schilddrüsenhormonbelastung hinzukommt. Dies ist auch nicht indiziert, da die endogene TSH-Sekretion definitionsgemäß bereits supprimiert ist.

Ad 2. Zum Nachweis der Suppression der TSH-Sekretion dient heute der TRH-Stimulationstest: Steigen die niedrigen basalen TSH-Spiegel nicht an, so ist die Suppression der TSH-Sekretion nachgewiesen (13).

Ad 3. Diese Suppression der TSH-Spiegel bedeutet jedoch noch nicht, daß alle Patienten zum Zeitpunkt der Untersuchung eine Hyperthyreose haben (2, 5, 6, 13). Funktionell zeigen sich in der Gruppe der Patienten mit einem dekompenzierten autonomen Adenom drei verschiedene Zustandsbilder, nämlich zunächst die Patienten mit einer klassischen Hyperthyreose mit erhöhten Thyroxin- und erhöhten Trijodthyronin-Spiegeln. Die zweite Gruppe umfaßt Patienten, die bei normalen oder erniedrigten Thyroxinspiegeln (7) und normalem thyroxinbindendem Globulin im Serum erhöhte Trijodthyroninspiegel haben, also eine sogenannte Trijodthyronin-Hyperthyreose. Die dritte Gruppe umfaßt Patienten mit dekompenzierten autonomen Adenomen, die zum Zeitpunkt der Untersuchung normale Thyroxin- und Trijodthyronin-Spiegel haben (persistierende Suppression oder phasenhafter Verlauf [13]). Da diese drei Zustandsbilder klinisch mit Ausnahme der klassischen Hyperthyreose nur bei gleichzeitiger Bestimmung der Trijodthyroninspiegel (5, 6) voneinander zu unterscheiden sind, sollte die Diagnose »toxisches Adenom«, anhand des szintigraphischen Bildes gestellt, nicht mehr verwendet werden (13, 16).

Tabelle 1 gibt eine Übersicht über den Untersuchungsablauf.

Tab. 1. Untersuchungsablauf



Mit der zu erwartenden Verbreitung von Szintillationskameras mit Auswertesystemen wird der zuverlässige Nachweis kompensierter autonomer Adenome auch mit der quantitativen Szintigraphie sowie kurzlebigen Isotopen des Jods bzw. mit ^{99m}Tc möglich.

Differentialdiagnostische Probleme

Auch bei Vergleich der Impulsraten über dem heißen Areal und dem paranodulären Schilddrüsengewebe kann die Abgrenzung einer hyperthyreoten Knotenstruma ohne Ophthalmopathie von einem in Dekompensation begriffenen autonomen Adenom problematisch sein, nämlich dann, wenn das paranoduläre Gewebe zwischen 10 und 20% der Aktivität über dem heißen Knoten aufnimmt. Dieser Übergang kann mit normalen, aber auch mit erhöhten Schilddrüsenhormonspiegeln und schon supprimierter TSH-Sekretion einhergehen (13). Ein TSH-Stimulationstest bringt in diesen Fällen das bereits szintigraphisch nachweisbare paranoduläre Gewebe lediglich deutlicher zur Abbildung. Ein T_3 -Suppressionstest ist aus klinischen Gründen in der Regel zu risikoreich und bei bereits supprimierter TSH-Sekretion auch nicht indiziert.

Ferner fällt nach Jodexposition (Kontrastmittel) oft die differentialdiagnostische Entscheidung schwer, ob primär eine blande Struma nodosa mit sekundärem, eventuell transitorischem »Jod-Basedow« oder ob primär ein autonomes Adenom vorgelegen hat, da nach Jodapplikation einerseits das szintigraphische Bild qualitativ schlecht und schwer deutbar und andererseits die TSH-Sekretion supprimiert sein kann.

Fehldiagnosen können bei sogenannten maskierten autonomen Adenomen unterlaufen, bei denen das autonome Adenom in der Struma nicht als heißer Knoten in Erscheinung tritt. In diesen Fällen kann ein Suppressionstest die Diagnose klären, während die TSH-Sekretion nach unseren Ergebnissen (13) im Gegensatz zu anderen Untersuchern (5) sowohl bei blanden Knotenstrumen als auch bei kompensierten (maskierten) autonomen Adenomen stimulierbar ist. Häufig genug wird jedoch das autonome Adenom erst im Verlauf einer Schilddrüsenhormonbehandlung der vermeintlich blanden Struma nodosa oder nach Jodexposition erkannt. In Zweifelsfällen empfiehlt es sich, bei diesen Patienten eine engmaschige Kontrolle anzuschließen (1), insbesondere in Anbetracht der phasenhaften Funktionsänderungen bei autonomen Adenomen.

Jodexpositionen von Patienten mit autonomen Adenomen führen zum Anstieg der Schilddrüsenhormonspiegel und zur Dekompensation (11). Es wäre daher naheliegend, einen Jodbelastungstest anzuwenden (10),

wenn dieses Verfahren wegen des Hyperthyreoserisikos vertretbar wäre.

Ist die Diagnose eines kompensierten oder dekompenzierten autonomen Adenoms gestellt, so ist die konsequente Ausschaltung dieses autonomen Areals operativ oder durch Radiojodbehandlung indiziert, da eine spontane Rückbildung (13, 16) nur in sehr seltenen Fällen zu erwarten ist.

Literatur

- (1) Börner, W., E. Moll, E. Rauh, A. Pöhner, S. Grehn, G. Ruppert: Diagnostik des autonomen Adenoms der Schilddrüse. Dtsch. med. Wschr. 96 (1971), 1707.
- (2) Botsch, H., B. Schreiber, K. Oeff: Serumkonzentration des Trijodthyronins beim autonomen Adenom der Schilddrüse. Münch. med. Wschr. 114 (1972), 2181.
- (3) Heinze, H. G., J. Wöhler, H. Ingrisch, K. J. Pfeifer, I. Souvatzoglou, K. Horn, P. C. Scriba: TSH-Stimulation mit niedrigen Dosen zur Diagnostik des autonomen Adenoms – Treffsicherheit und Risiko des TSH-Tests. Dtsch. med. Wschr. 99 (1974), 1236.
- (4) Heinze, H. G., H. W. Pabst, J. Klemm, G. Hör: L-Trijodthyronin-Suppressionstest der Schilddrüse. Therap. Umschau 24 (1967), 397.
- (5) Hesch, R.-D., D. Emrich, A. v. zur Mühlen, H.-P. Breuel: Der Aussagewert der radioimmunchemischen Bestimmung von Trijodthyronin und thyreotropem Hormon für die Schilddrüsen-diagnostik in der Praxis. Dtsch. med. Wschr. 100 (1975), 805.
- (6) Horn, K.: Trijodthyronin. Probleme der Bestimmung, pathophysiologische und diagnostische Bedeutung. Habilitationsschrift, München 1975.
- (7) Ingrisch, H., H. G. Heinze, J. Wöhler, K. Horn, K. J. Pfeifer, P. C. Scriba: Absolute Jodaufnahme autonomer Adenome der Schilddrüse vor und nach exogener TSH-Stimulation. Dtsch. med. Wschr. 99 (1974), 1677.
- (8) Klein, E., J. Kracht, H. L. Krüskemper, D. Reinwein, P. C. Scriba: Klassifikation der Schilddrüsenkrankheiten. Dtsch. med. Wschr. 98 (1973), 2249.
- (9) Klein, E., J. Kracht, H.-L. Krüskemper, D. Reinwein, P. C. Scriba: Praxis der Schilddrüsendiagnostik. Dtsch. med. Wschr. 98 (1973), 2362.
- (10) Kurtz, H., A. Magundar, U. Wellner: Provokationstest zur weiteren Differenzierung der Struma. In: Vieten, H. (Hrsg.): Deutscher Röntgenkongress 1971 (Thieme: Stuttgart 1972), 159.
- (11) Mahlstedt, J., K. Joseph: Dekompensation autonomer Adenome der Schilddrüse nach prolongierter Jodzufuhr. Dtsch. med. Wschr. 98 (1973), 1748.
- (12) Mahlstedt, J., K. Joseph, E. H. Graul: Suppressionstest der Schilddrüse nach einmaliger Gabe von 3 mg L-Thyroxin. Nuc-Compact (1972), 4.
- (13) Pickardt, C. R., F. Erhardt, J. Grüner, H. G. Heinze, K. Horn, P. C. Scriba: Stimulierbarkeit der TSH-Sekretion durch TRH bei autonomen Adenomen der Schilddrüse. Dtsch. med. Wschr. 98 (1973), 152.
- (14) Pohl, G., G. Galvan, H. Steiner, R. Salis-Samaden: Das autonome Adenom der Schilddrüse im Struma-Endemiegebiet. Dtsch. med. Wschr. 98 (1973), 389.
- (15) Schneider, C., Kl. J. Thiemann, V. Bay: Die Symptomatik des toxischen Adenoms der Schilddrüse in verschiedenen Lebensaltern. Dtsch. med. Wschr. 95 (1970), 387.
- (16) Wenzel, K. W., H. Meinhold, H. Schleusener, H. Botsch: Verbesserte Beurteilungskriterien des autonomen Adenoms der Schilddrüse: Trijodthyronin-Konzentration im Serum, funktionelle Definition durch den TRH-Test. Dtsch. med. Wschr. 99 (1974), 1465.
- (17) Wöhler, J., H. G. Heinze, C. R. Pickardt, F. Erhardt, P. C. Scriba: Eine neue, risikolose Methode zur Diagnostik dekompenzierter autonomer Adenome der Schilddrüse. Dtsch. med. Wschr. 99 (1974), 1240.

Privatdozent Dr. H. G. Heinze
Klinik und Poliklinik für Radiologie der Universität
8 München 2, Ziemssenstr. 1

Privatdozent Dr. C. Renate Pickardt, Prof. Dr. P. C. Scriba
II. Medizinische Klinik der Universität
8 München 2, Ziemssenstr. 1